

# HCB71919E.DLR.T.P4S

Hybrid-Spindellager, angestellt, paar- oder satzweise, Druckwinkel 25°, eine Schmierrille mit zwei Schmierbohrungen, zwei Ringnuten mit O-Ringen, Hartgewebekäfig, eingengte Toleranzen, Ringe aus Qualitätswälzlagerstahl, Wälzkörper aus Siliziumnitrid



## Abmessungen

<b>d</b>	(mm)	95	Bohrungsdurchmesser
<b>D</b>	(mm)	130	Außendurchmesser
<b>B</b>	(mm)	18	Breite
<b>a</b>	(mm)	35	Stützweite
<b>r<sub>s min</sub></b>	(mm)	0.6	minimaler Kantenabstand
<b>r<sub>1s min</sub></b>	(mm)	0.6	minimaler Kantenabstand

## Druckwinkel

<b>α</b>	(°)	25	Druckwinkel
----------	-----	----	-------------

## DLR-Abmessung

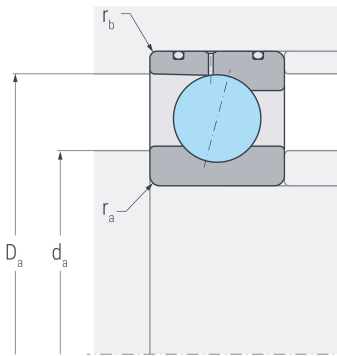
<b>N<sub>B</sub></b>	(mm)	1.8	Breite der Nut
<b>N<sub>A</sub></b>	(mm)	4	Abstand der Nut
<b>S<sub>B</sub></b>	(mm)	2.4	Breite der Schmierrille
<b>S<sub>A</sub></b>	(mm)	10.4	Abstand der Schmierrille

## Gewicht

<b>kg</b>		0.495	Gewicht
-----------	--	-------	---------

# HCB71919E.DLR.T.P4S

Hybrid-Spindellager, angestellt, paar- oder satzweise, Druckwinkel 25°, eine Schmierrille mit zwei Schmierbohrungen, zwei Ringnuten mit O-Ringen, Hartgewebekäfig, eingengte Toleranzen, Ringe aus Qualitätswälzlagerstahl, Wälzkörper aus Siliziumnitrid



## Anschlussmaße

<b>d<sub>a</sub> h12</b>	(mm)	102	Durchmesser der Wellenschulter
<b>D<sub>a</sub> H12</b>	(mm)	124	Durchmesser der Gehäuseschulter
<b>r<sub>a</sub> max</b>	(mm)	0.6	maximaler Rundungsradius
<b>r<sub>b</sub> max</b>	(mm)	0.6	maximaler Rundungsradius

## Leistungsdaten

<b>C<sub>r</sub></b>	(kN)	44.1	dynamische Tragzahl, radial
<b>C<sub>0r</sub></b>	(kN)	38	statische Tragzahl, radial
<b>C<sub>ur</sub></b>	(kN)	1.43	Ermüdungsgrenzbelastung, radial
<b>n<sub>G oil</sub></b>	(min <sup>-1</sup> )	19000	Grenzdrehzahl, Ölschmierung
<b>F<sub>VL</sub></b>	(N)	150	Vorspannkraft, leicht
<b>F<sub>VM</sub></b>	(N)	665	Vorspannkraft, mittel
<b>F<sub>VS</sub></b>	(N)	1480	Vorspannkraft, schwer
<b>C<sub>aL</sub></b>	(N/μm)	166	axiale Steifigkeit, leicht
<b>C<sub>aM</sub></b>	(N/μm)	285	axiale Steifigkeit, mittel
<b>C<sub>aS</sub></b>	(N/μm)	385	axiale Steifigkeit, schwer
<b>K<sub>aEL</sub></b>	(N)	433	Abhebekraft, leicht
<b>K<sub>aEM</sub></b>	(N)	1980	Abhebekraft, mittel
<b>K<sub>aES</sub></b>	(N)	4540	Abhebekraft, schwer